



APLICAÇÕES DO LUGAR DAS RAÍZES

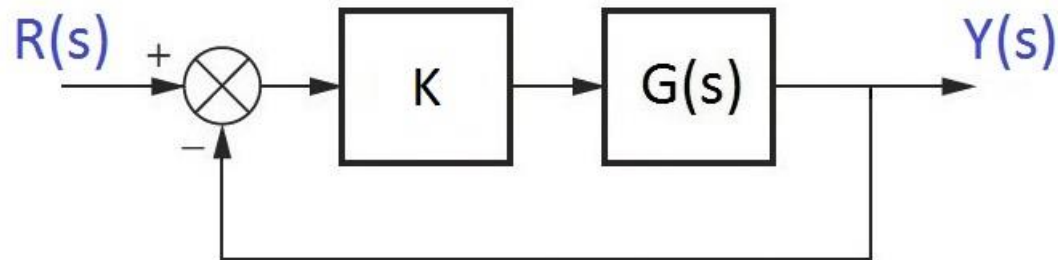
Profa. Cristiane Paim

Aplicações do Lugar das Raízes

Tendo em vista que o Lugar das Raízes permite observar como os polos de malha fechada se deslocam em função da variação de um parâmetro do sistema, a principal aplicação deste será usar esta informação para o **projeto de controladores** (visando atender algum critério de desempenho).

Aplicações do Lugar das Raízes – Exemplo 1

Seja o sistema de controle



sendo $K > 0$ e

$$G(s) = \frac{1}{s(s^2 + 4s + 5)}$$

determinar, usando o LR, para que valores de K a resposta ao degrau:

- a) não apresente sobressinal;
- b) tem sobressinal inferior a 16,3%.

Aplicações do Lugar das Raízes – Exemplo 1

$$G(s) = \frac{1}{s(s^2 + 4s + 5)}$$

$$p_1 = 0$$

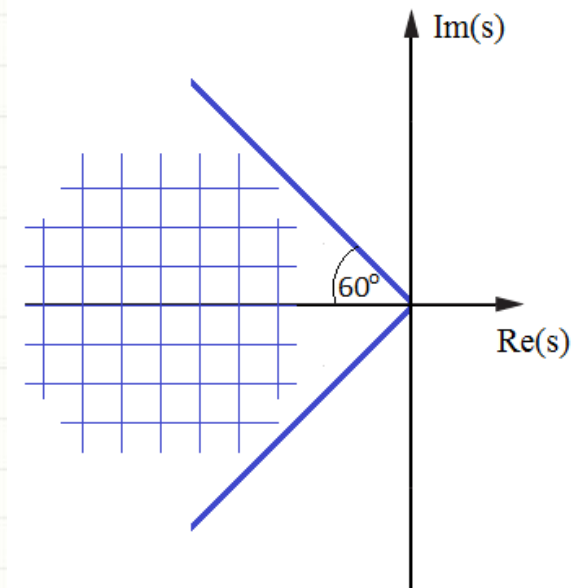
$$p_{2,3} = -2 \pm j$$

Especificações:

a) Sem sobressinal $\rightarrow \xi \geq 1$ (polos reais)

b) Sobressinal menor do que 16,3%

$$\xi > 0,5 \quad (\theta < 60^\circ)$$



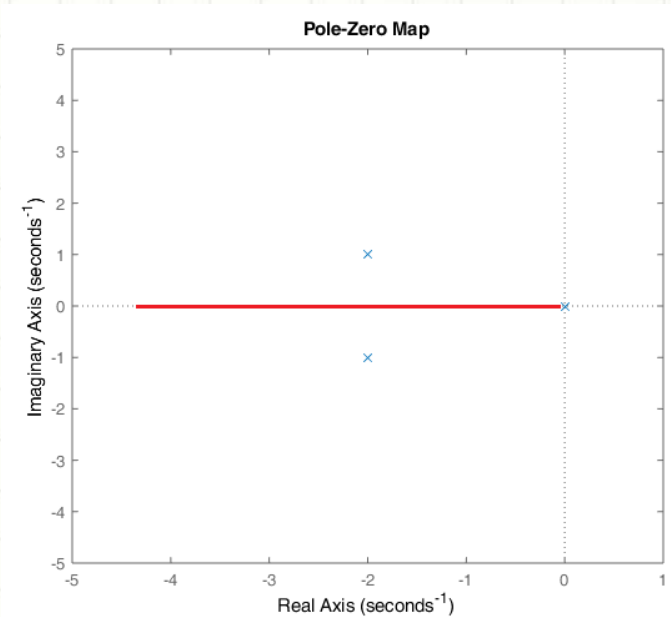
Aplicações do Lugar das Raízes – Exemplo 1

Eixo real: $[-\infty, 0]$

Assíntotas: $\theta_a = \pm 60^\circ, 180^\circ$

Ângulos de Partida:

$$\phi_1 = 180^\circ \quad \phi_2 = -63,4^\circ \quad \phi_3 = 63,4^\circ$$



Cruzamento com eixo imaginário: $\omega = \pm 2,23 \rightarrow K=20$

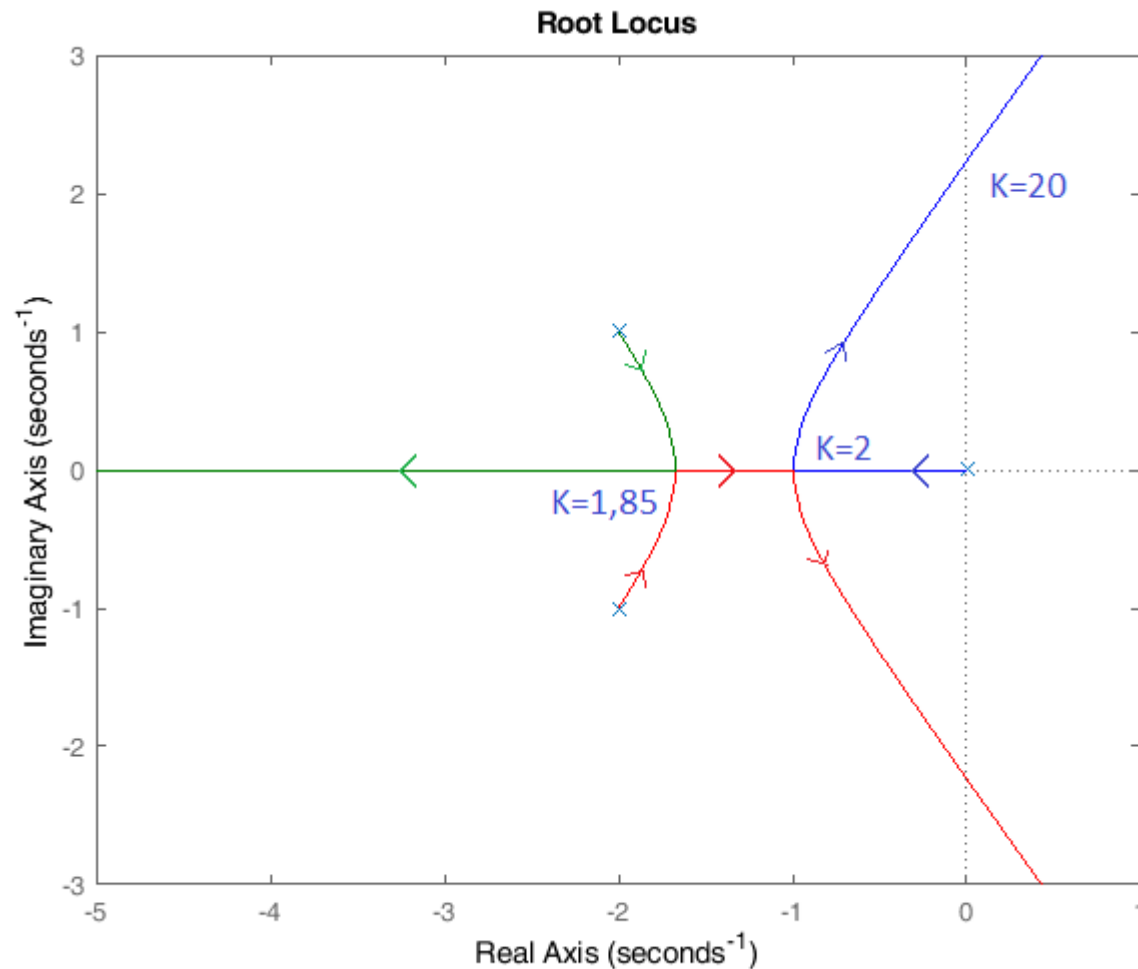
Sistema estável para $0 < K < 20$

Ramificação:

$$s_1 = -1 \in \text{LR} \quad \Rightarrow \quad K = 2$$

$$s_2 = -1,67 \in \text{LR} \quad \Rightarrow \quad K = 1,85$$

Lugar das Raízes – Exemplo 1



a) Para polos reais: $1,85 \leq K \leq 2$.

Aplicações do Lugar das Raízes – Exemplo 1

Observe que, para qualquer valor de K entre 0 e 2, polo dominante será real.

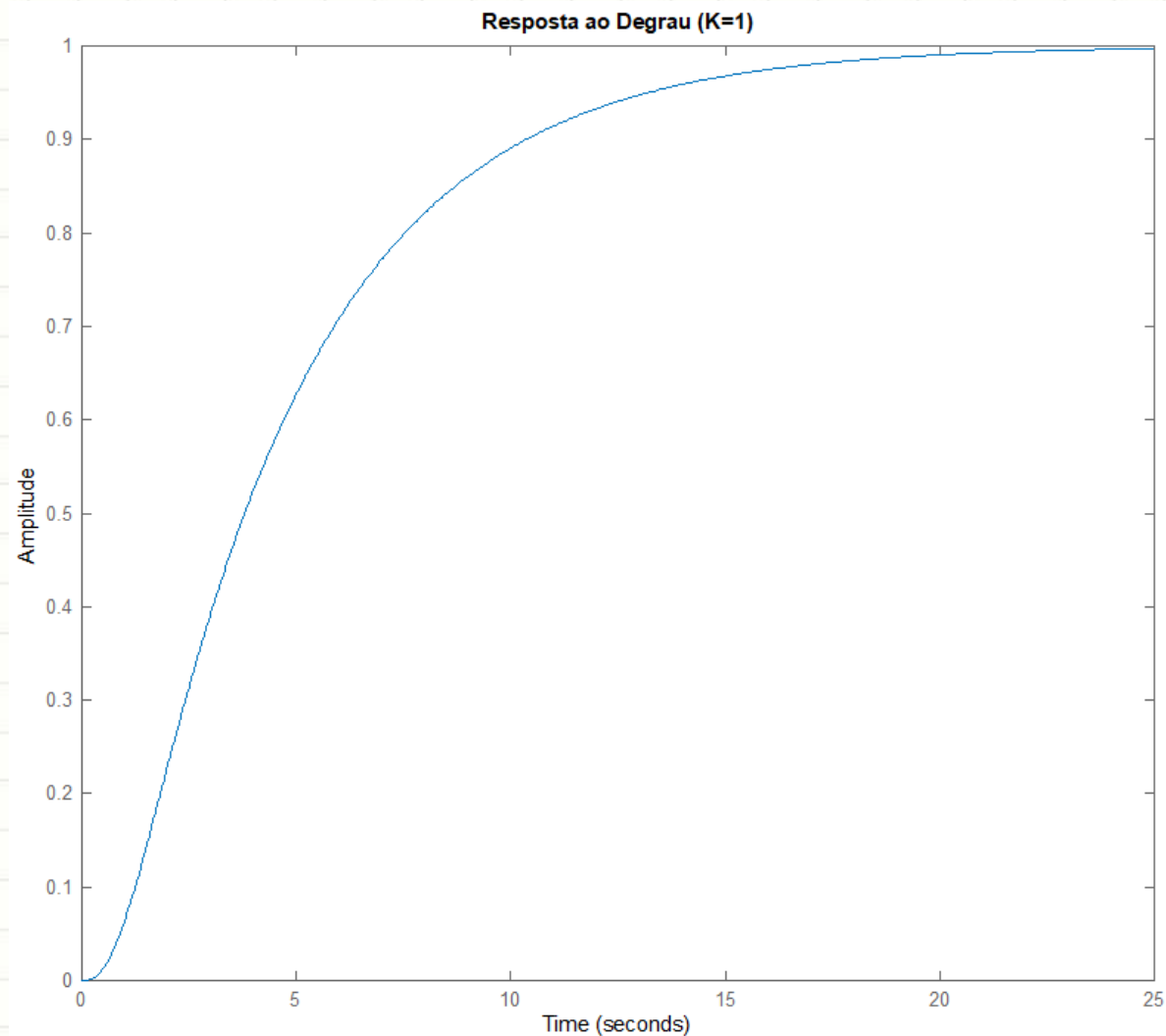
Por exemplo, para $K=1$, os polos de malha fechada são:

$$p_1 = -0,245$$
$$p_{2,3} = -1,88 \pm j0,75$$

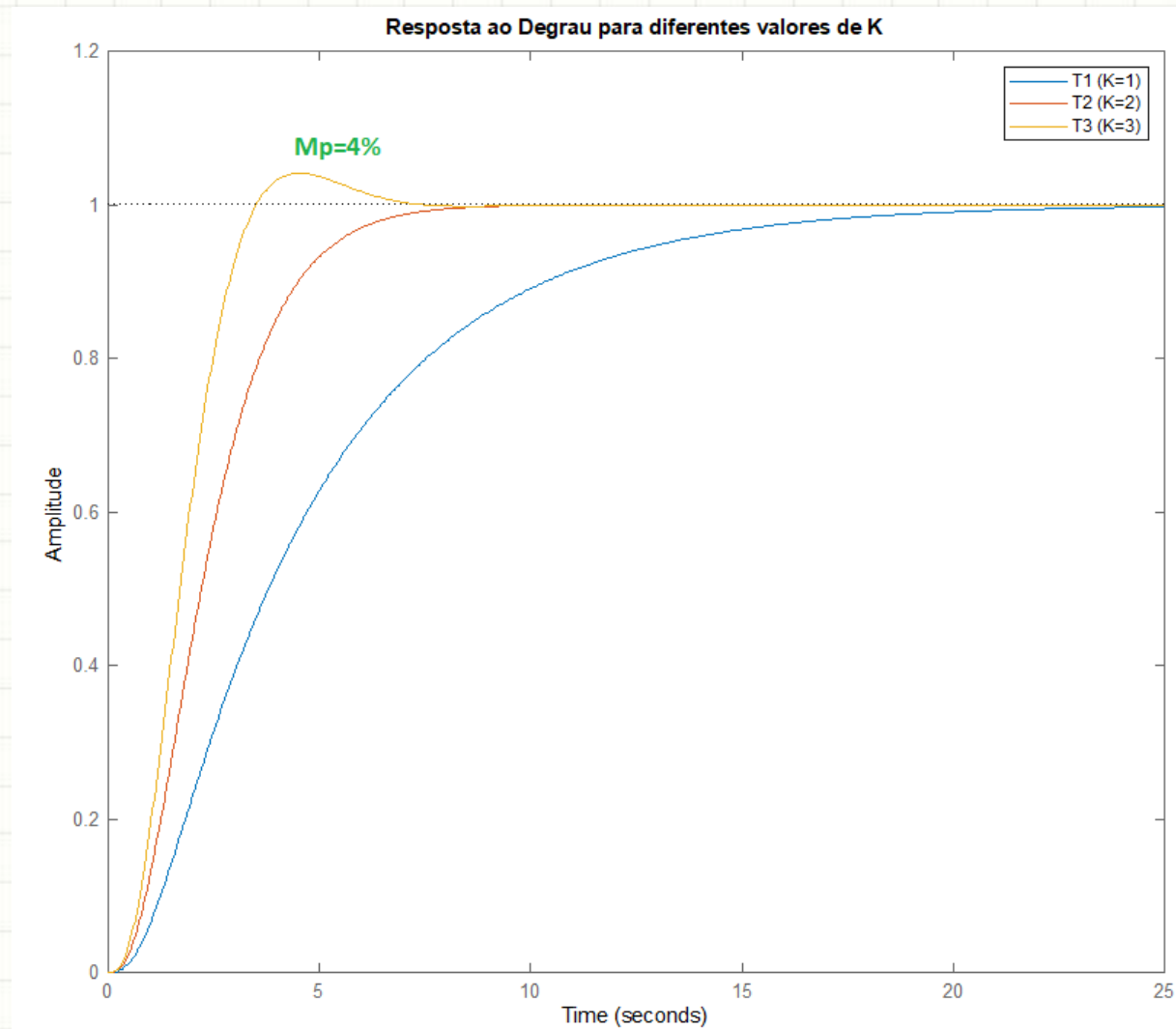
O polo dominante é p_1 e os polos complexos estão distantes, não influenciando a resposta.

Assim, para uma resposta ao degrau sem sobressinal pode ser considerado $0 < K < 2$.

Resposta ao degrau – Exemplo 1 ($K=1$)



Resposta ao degrau – Exemplo 1

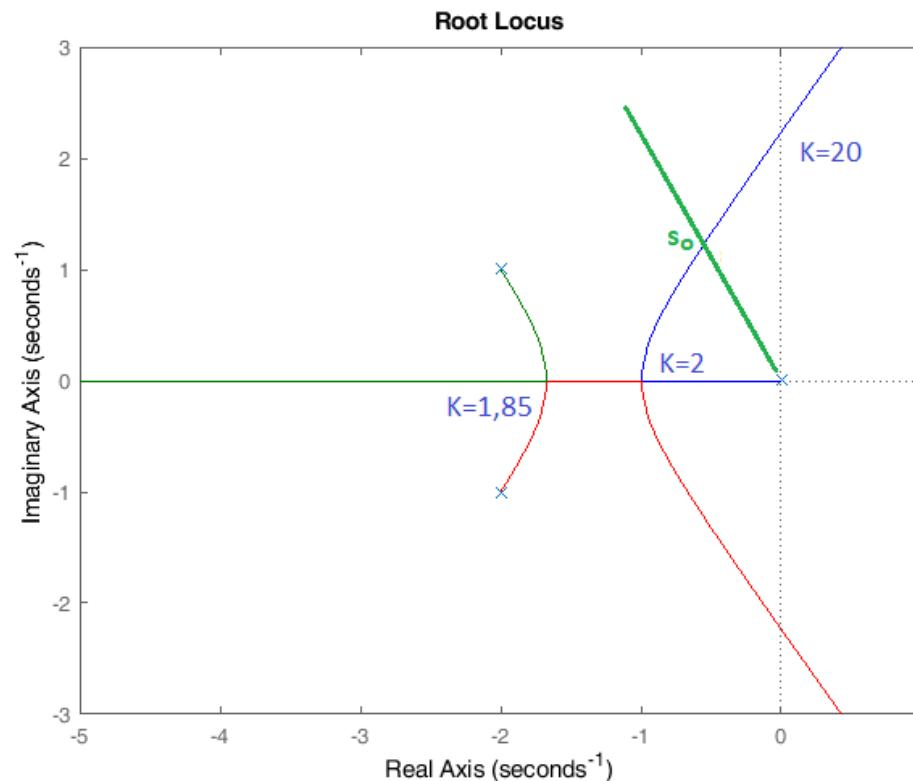


Como esperado, para $K > 2$, haverá sobressinal.

Aplicações do Lugar das Raízes – Exemplo 1

b) Sobressinal menor do que 16,3% $\rightarrow \xi > 0,5$ ($\theta < 60^\circ$)

Assim, é necessário encontrar a intersecção do LR com a região que define a especificação de sobressinal (ponto s_o).

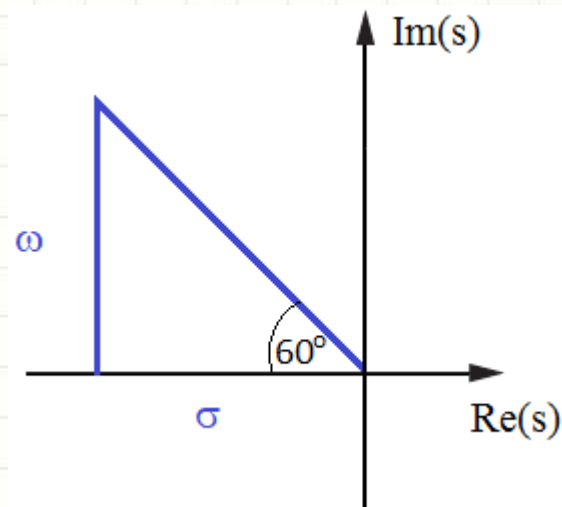


Aplicações do Lugar das Raízes – Exemplo 1

O ponto s_o pode ser escrito em função da relação entre parte real e imaginária, para o ângulo de 60° .

$$\operatorname{tg} 60^\circ = \frac{\omega}{\sigma} = \sqrt{3} \rightarrow \omega = \sigma\sqrt{3}$$

$$s_o = -\sigma + j\sigma\sqrt{3} = \sigma(-1 + j\sqrt{3})$$



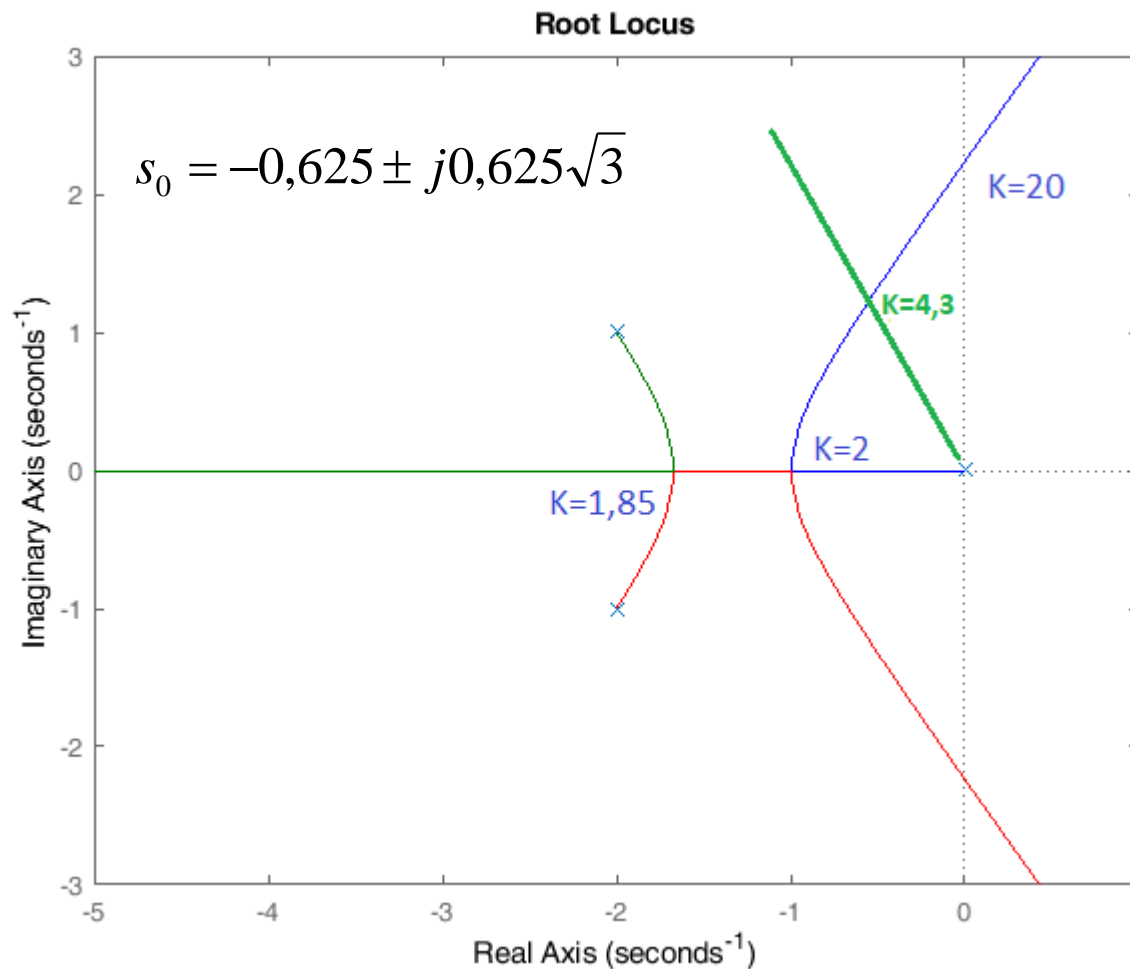
Substituindo $s=s_o$ na equação característica

$$\Delta(s) = s^3 + 4s^2 + 5s + K = 0$$

obtém-se

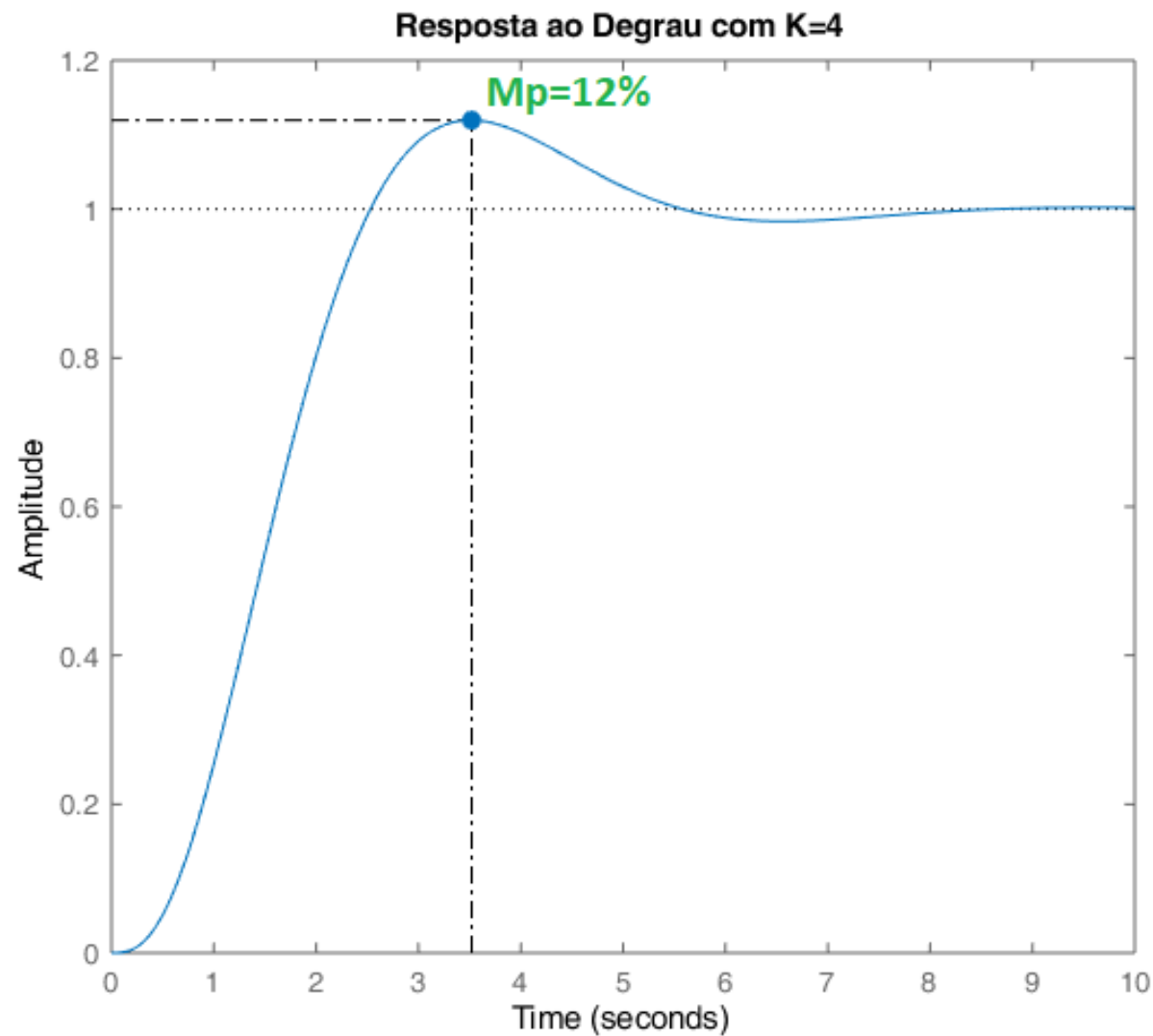
$$\begin{aligned} K &= 4,3 \\ \sigma &= 0,625 \end{aligned} \Rightarrow s_o = -0,625 \pm j0,625\sqrt{3}$$

Exemplo 1 : interseção LR e especificação

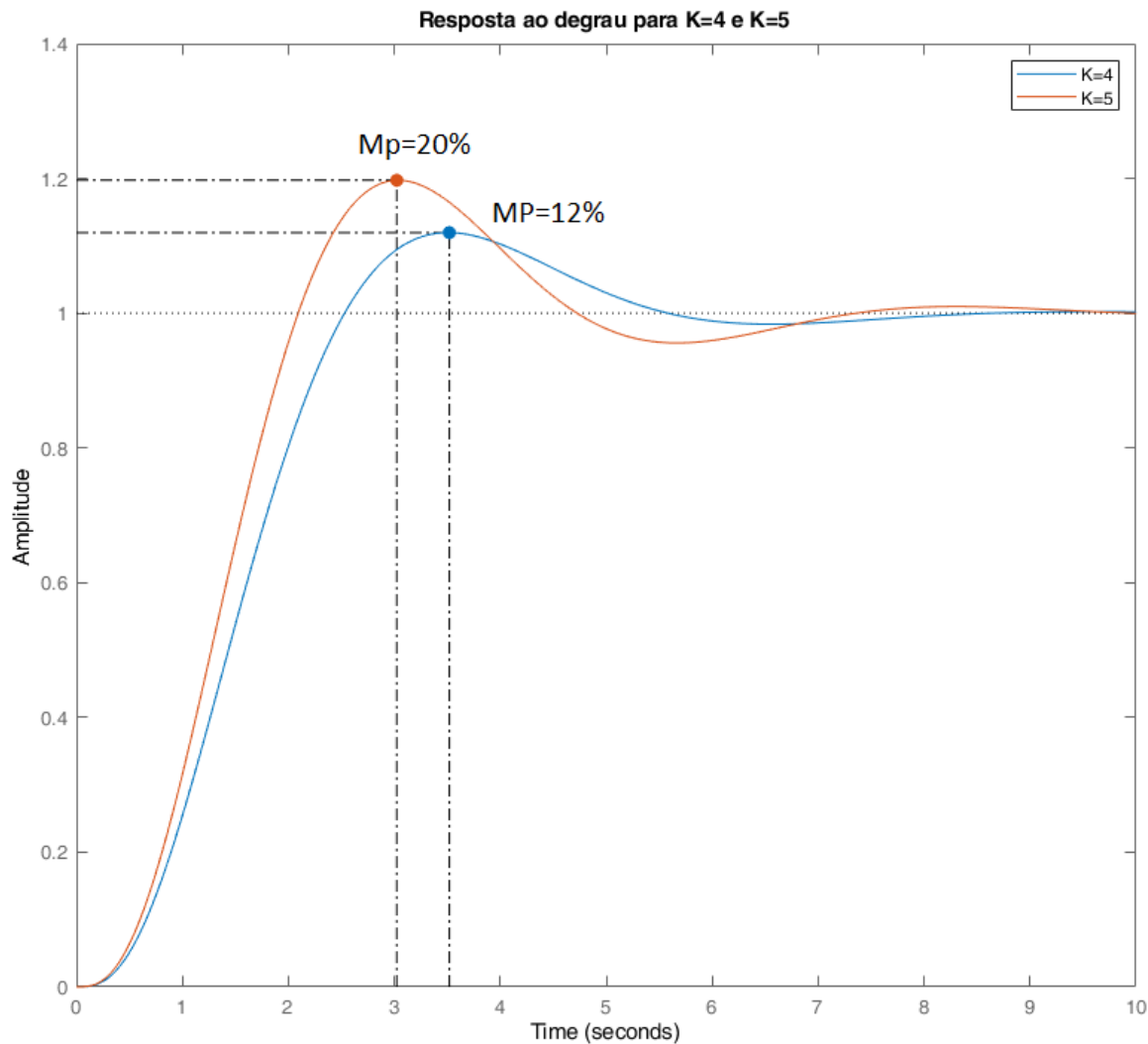


b) Para resposta ao degrau com $M_p < 16,3\%$: $0 < K < 4,3$

Resposta ao degrau – Exemplo 1 ($K=4$)



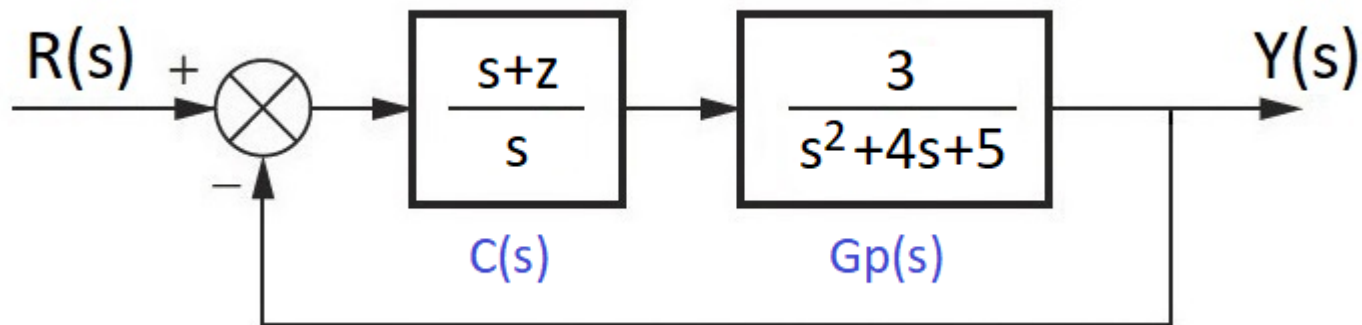
Resposta ao degrau – Exemplo 1



Como esperado, para $K > 4,3$, o sobressinal será maior do que 16,3%.

Aplicações do Lugar das Raízes – Exemplo 2

Seja o sistema de controle, com $z > 0$.



- Avaliar a estabilidade do sistema em função da variação do zero do controlador.
- Determinar para que valores de z a resposta ao degrau do sistema tem tempo de acomodação inferior a 4 segundos.

Aplicações do Lugar das Raízes – Exemplo 2

Neste caso, a equação característica do sistema precisa ser reescrita de modo a ficar na forma “padrão” para aplicação das regras de traçado do Lugar das Raízes:

$$\Delta(s) = 1 + K G(s) = 0$$



parâmetro variável

Para o sistema

$$T(s) = \frac{3(s + z)}{s(s^2 + 4s + 5) + 3(s + z)}$$

ou seja,

$$\Delta(s) = s^3 + 4s^2 + 8s + 3z = 0$$

Aplicações do Lugar das Raízes – Exemplo 2

A eq. característica pode ser reescrita como:

$$1 + \overset{K}{z} \overset{G(s)}{\frac{3}{s(s^2 + 4s + 8)}} = 0$$

Portanto, o Lugar das Raízes será traçado considerando

$$G(s) = \frac{3}{s(s^2 + 4s + 8)}$$

$$p_1 = 0$$

$$p_{2,3} = -2 \pm j2$$

para a variação de $0 < z < +\infty$.

Aplicações do Lugar das Raízes – Exemplo 2

Eixo real: $[-\infty, 0]$

Assíntotas: $\theta_a = \pm 60^\circ, 180^\circ$ $\sigma_a = -1,33$

Ângulos de Partida:

$\phi_1 = 180^\circ$ $\phi_2 = -45^\circ$ $\phi_3 = +45^\circ$

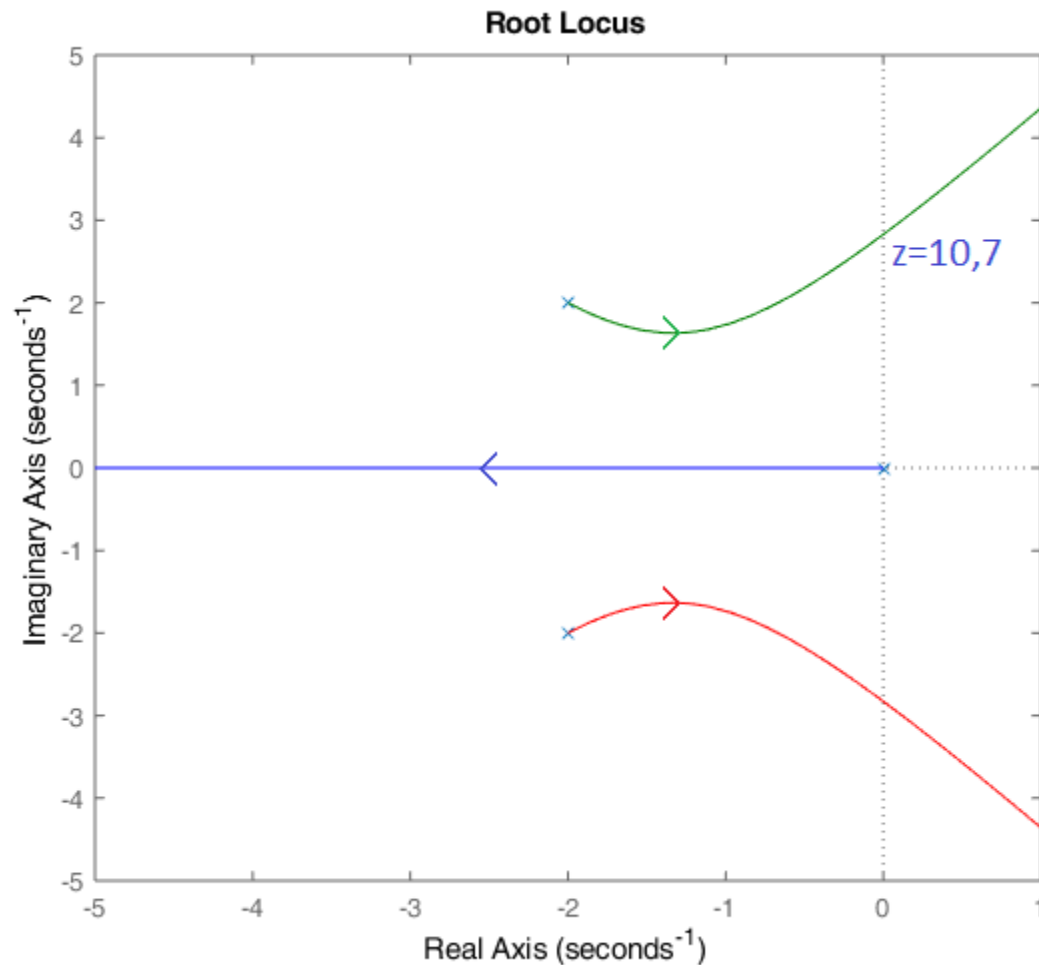
Cruzamento com eixo imaginário: $\omega = \pm 2,83 \rightarrow z=10,7$

Sistema estável para $0 < z < 10,7$

Ramificação: não existe

$$dK/ds = 0 \Rightarrow s_{1,2} = -1,3 \pm j0,94 \notin \text{LR}$$

Aplicações do Lugar das Raízes – Exemplo 2

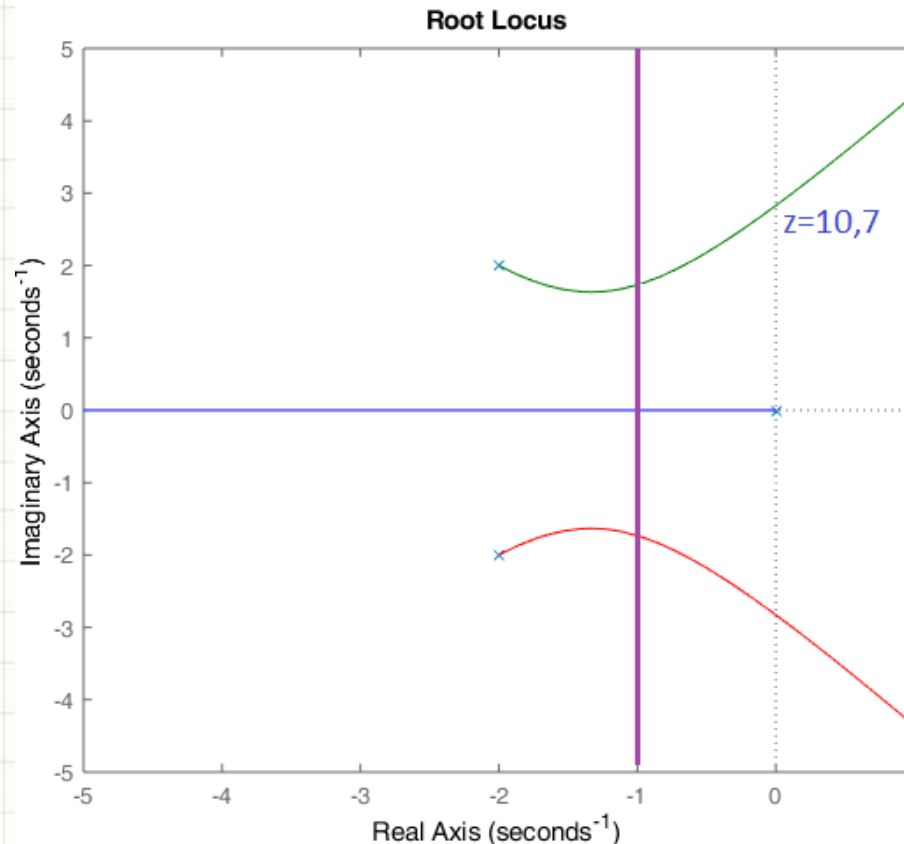


a) O sistema estável para $0 < z < 10,7$.

Aplicações do Lugar das Raízes – Exemplo 2

b) Tempo de acomodação: $t_s < 4 \rightarrow \xi\omega_n > 1$

Neste caso, é necessário encontrar a intersecção do LR com a região que define a especificação de tempo de acomodação (reta em -1).



Aplicações do Lugar das Raízes – Exemplo 1

O ponto s_o pode ser definido como:

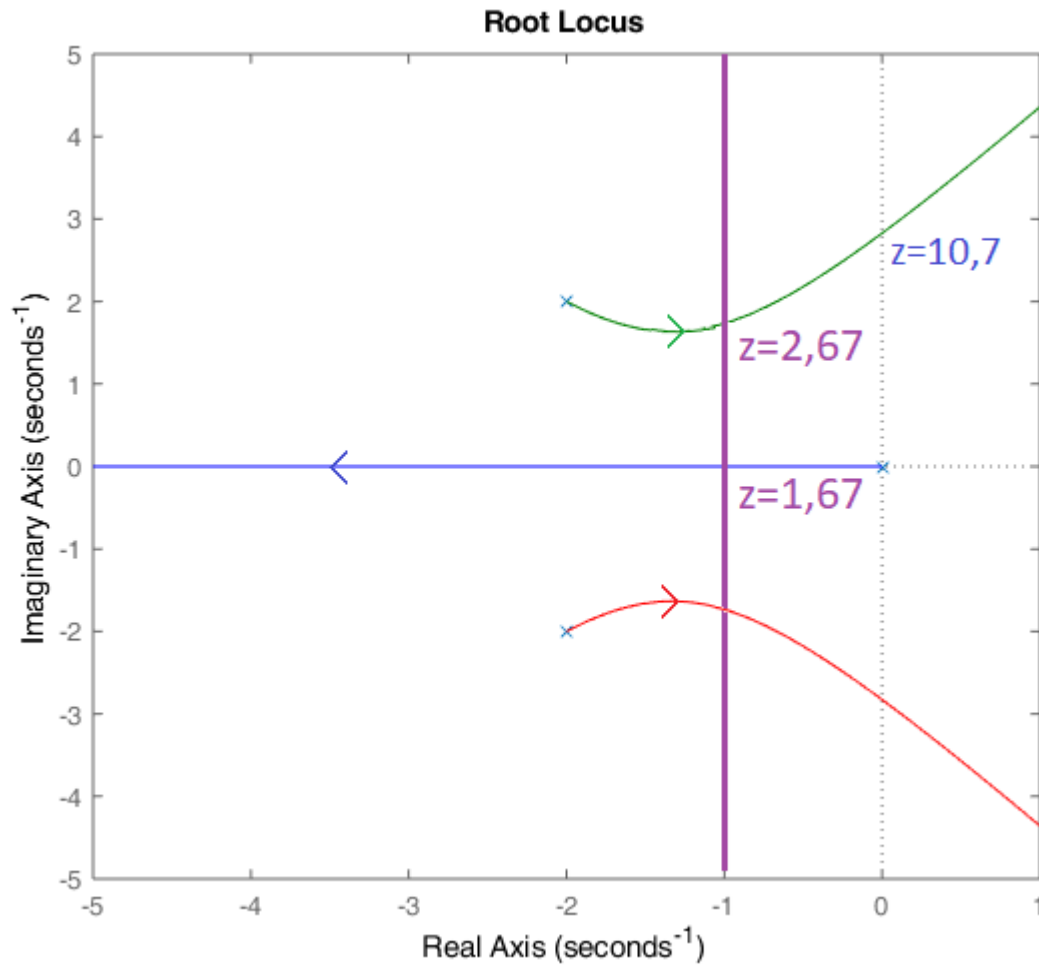
$$s_o = -1 + j\omega$$

Substituindo s_o na equação característica obtém-se

$$\omega = 0 \quad \Rightarrow \quad z = 5/3 = 1,67$$

$$\omega = \pm 1,73 \quad \Rightarrow \quad z = 8/3 = 2,67$$

Aplicações do Lugar das Raízes – Exemplo 2



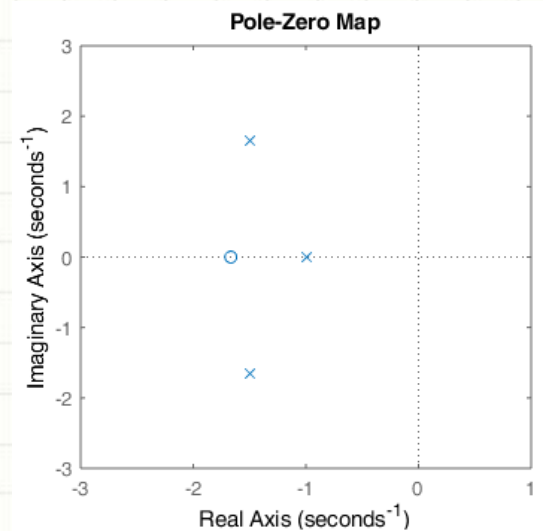
b) Para $t_s < 4$: $1,67 < z < 2,67$

Aplicações do Lugar das Raízes – Exemplo 2

Para $z=1,67$, os polos de malha fechada são:

$$p_1 = -1$$

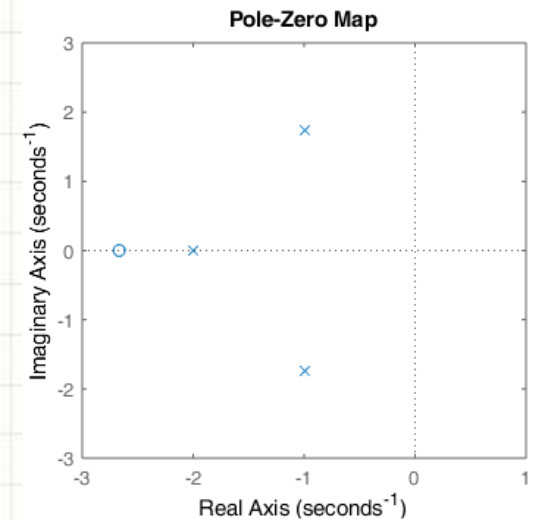
$$p_{2,3} = -1,5 \pm j1,66 \quad (\xi=0,67)$$



Para $z=2,67$, os polos de malha fechada são:

$$p_{1,2} = -1 \pm j1,73 \quad (\xi=0,5)$$

$$p_{2,3} = -2$$



Resposta ao degrau – Exemplo 2

